

II-23 波動の中の物体の振動に関する 2.3 の実験

東京工業大学 工学部 正員 吉川秀夫
 東京工業大学 工学部 正員 河野二夫
 大林組 ○ 塚井修

1. はじめに

図-1に示すように断面が矩形のものと三角形の2種類の潜堤を造波水路底に設置し、その下流側の近傍に1箇の球の倒立振子とおいた場合の球の振動について簡単な実験を行なった。

海産に潜堤を設置する目的は色々考えられるが、従来行なわれた研究としては、主として海浜土砂の沖方向への流失を防止することや、潜堤背後の波浪を減殺させることなどであつた。例えば、波動の中に固定した物体の長さ(大きさ)が波の反射率にどうよに影響するかと調べた、Unsell(1947), Cooper and L. Higgins(1951), Wiegelらの研究や、厚さのうすい防壁と水面に固定した場合の反射率と調べた F. John(1950)らの研究²⁾または次元解析で反射率がよく整理出来る事と示した合田ら³⁾の研究など主として波浪減殺に関する研究と言える。

Ippenの説明によると⁴⁾波動の中の物体の近傍では'local standing wave'が起るが、波の反射や透過程率は進行波の機構から求められるが、物体に作用する外力はこの'local standing wave'の機構を考える必要があると述べている。このような物体の近傍の流体については、例えば J. N. Newman(1965)らは理論的に取扱つている⁴⁾。また最近塙川ら⁵⁾(1968)は直立潜堤の近傍では部分重複波が発生することを実験的に示めしている。しかし以上述べた研究については、まだ種々の問題が残されてゐる。本論文は次のような事を考えて、簡単な実験を行なつたものである。

将来、海底住居やその他の海底施設が考えられるようになると、そのような施設の近傍に他の施設を設置することが予想される。その場合お互いの影響はどうあらうかといった問題である。本論文では單純な modelとして三角形または矩形の潜堤と球状の物体について考えてみた。

2. 実験装置と実験方法

図-1に示した模型の諸元は表-1の通りである。

参考文献

- 1). 岩垣雄一, 海岸堤防論: 水工シリーズ, 64-08, 土木学会水理委員会; 1964年7月 P38.
- 2). Ippen, Estuary and Coastline Hydrodynamics.
- 3). Y. Goda他, Laboratory investigation on Wave Transmission over Breakwaters : 運研報告.
- 4). J.N. Newman, Propagation of Water Waves over Infinite Step ; J.F.M. vol 23 (1965)他
- 5). 塙川, 小森, 潜堤における風波の減衰機構について, 第15回海岸講演会 (1968)
- 6). M. Homma, Horikawa : A study on submerged Break Waters : C.E. in Japan Vol 4.
- 7). 前田他: 有限潜堤における重複波および共振について, 第9回海岸講演会 1962年.
- 8). M. Nakamura他: Wave damping effect of submerged dike ; C.E.J. vol. 1966.

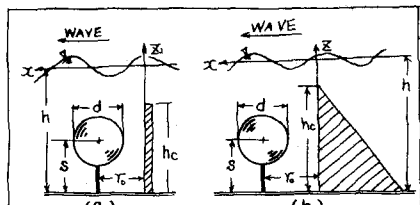


Fig. 1: Schematic diagram of Submerged breakwaters.

実験にはまず模型を造波水路の中央附近に設置し、堤の下流壁面から r_0 の位置に倒立振子を固定して表面波を与え、 r_0 の位置での波形と球の振動を測定するのである。 r_0 は7, 20, 40, 70, 100, 150cm、水深は30, 40, 50cmに変化させて測定した。また振子は球の茎(5.4cm)、質量($M = 17g$)、仮想質量($m = 41g$)、ばねの長さ(7.5cm)、固有振動数(21.6 rad/sec)、減衰係数(0.3%/sec)である。

さて、波高や球の変位が潜堤をおいたことによつて、どのように影響されたかと調べるためにには、やはり潜堤をおかないときと比較して、どのように変化したかを示すのが最もわかりやすい。

実験装置の構成ごとに、時の入射波高を同時に測定しないので、正確な値はわからないが、潜堤を取り除き、水深や造波機のstrokeを潜堤とおいた場合と同一にして測定された入射波高や球の変位を参考のため表-2に示した。

3. r_0 や波の周期と一緒にして水深を変えた場合。

波の周期と球や波形測定の位置を一定にして水深だけを変化させた場合に振動がどのようになるかについての1例と図-2に示した。

図-2で水深は①②③が各々 $h = 50cm$, $40cm$, $30cm$ である。図-2と表-2によつて潜堤の効果を調べると表-3になる。

表-3から入射波形勾配に若干の差はあるが
 ① 水深に対し堤高を増すと波高減衰の効果はあるが球の振動に対する効果はないと言える。
 ② 水深に対し堤高を増すと振動に2次的な要素が加わる事が考えられる。これは恐らく越波による衝撃や渦の影響が考えられる。

表-3. 潜堤の効果(水深だけをえた場合)

順序	水深	r_0	$\frac{h_c}{h}$	$\frac{H}{H_0}$	A/A_0	$\frac{H_0}{L_0}$	摘要
①	50cm	20cm	0.5	1.07	0.93	0.125	矩形
②	40cm	20cm	0.625	1.04	1.28	0.091	三角形
③	30cm	20cm	0.833	0.4	1.29	0.113	

注1) H_0 , A_0 と H , A (潜堤のあるときの波高と振幅)は同時に測定していない。

注2) $\frac{h_c}{h} = 0.833$ の場合の波高は図-2の③で最大のもの($H=30cm$)を用いた。

表-1. 潜防波堤の諸元

	矩形断面	三角形断面
堤高(高)	15cm	25cm
堤巾(底面)	6mm	70cm
堤巾(上部)	6mm	0
裏(側)	59cm	59cm

表-2. 入射波高および球の変位

周期	$h = 30cm$			$h = 40cm$			$h = 50cm$		
	$H_0(cm)$	$A_0(cm)$	$\frac{H_0}{L_0}$	$H_0(cm)$	$A_0(cm)$	$\frac{H_0}{L_0}$	$H_0(cm)$	$A_0(cm)$	$\frac{H_0}{L_0}$
0.65	7.5	2.2	0.113	7.6	1.4	0.091	8.3	0.9	0.125
0.85	6.2	2.98	0.058	8.5	2.86	0.077	12.4	2.84	0.11
0.88	5.95	3.04	0.053	8.6	2.96	0.072	12.5	2.95	0.1
0.9	5.8	2.98	0.05	8.8	2.97	0.07	12.6	2.98	0.1
1.17	4.1	2.23	0.024	7.1	2.3	0.038	9.1	2.6	0.046
1.2	3.9	2.12	0.022	5	2	0.026	8.8	2.52	0.043
1.7	1.7	0.74	0.006	3.4	0.9	0.011	6	1.32	0.018
2.4	1.0	0.43	0.005	1.7	0.66	0.004	4.3	0.28	0.008

* (潜堤を取り除き改めて測定したもの)

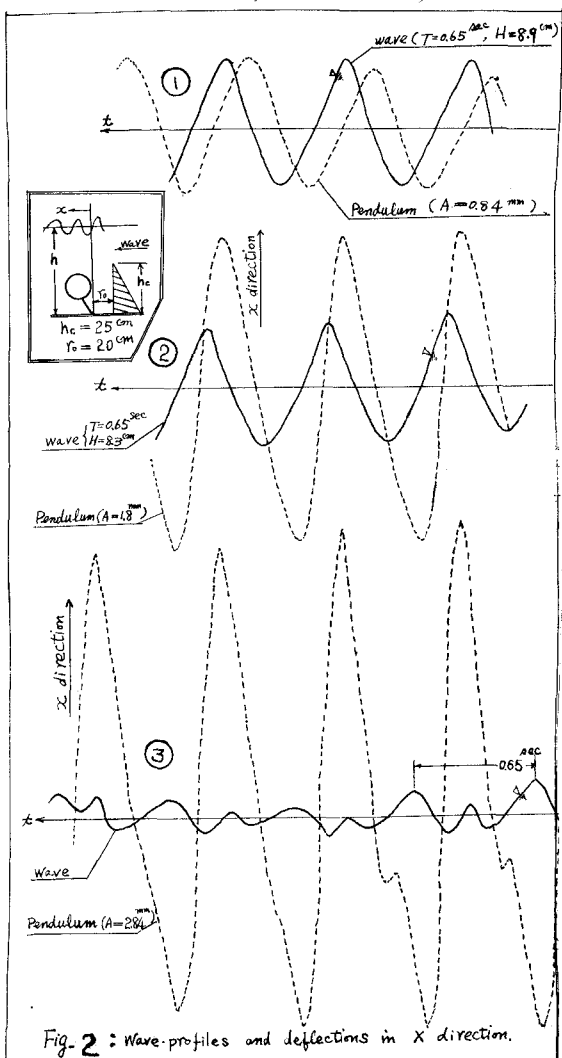


Fig. 2: Wave-profiles and deflections in X direction.

4. 水深や周期と一緒にして γ_0 を変えた場合。

この場合の実験結果を図-3に示めし。表-3と同様にして潜堤の効果を示めると表-4になる。

表-4. 潜堤の効果 (γ_0 をかえた場合)

図番号	水深	h/h_0	T ₀	T _{ave}	γ_0/h_0	H/H_0	A/A_0	H_0/L_0	摘要
①	30cm	0.833	17cm	0.90	0.28	0.48	0.33	0.05	
②	30cm	0.833	20cm	0.88	0.8	0.76	0.86	0.053	三角堤
③	30cm	0.833	70cm	0.89	2.8	0.59	0.68	0.053	

表-4によると、 $\gamma_0 = 20\text{cm}$ の場合が $\frac{H}{H_0}$, $\frac{A}{A_0}$ の値は最大になり潜堤の効果の小さい事と示めす。このことは潜堤とおいた事によつて、潜堤下流側の特徴の位置の流体(波動)に越波による衝撃とか、渦とかの特殊な作用が大きく影響したものと考えられる。

今お γ_0 を細かく測定すると、場所的に波高も振幅も増減しているが本文では省略した。

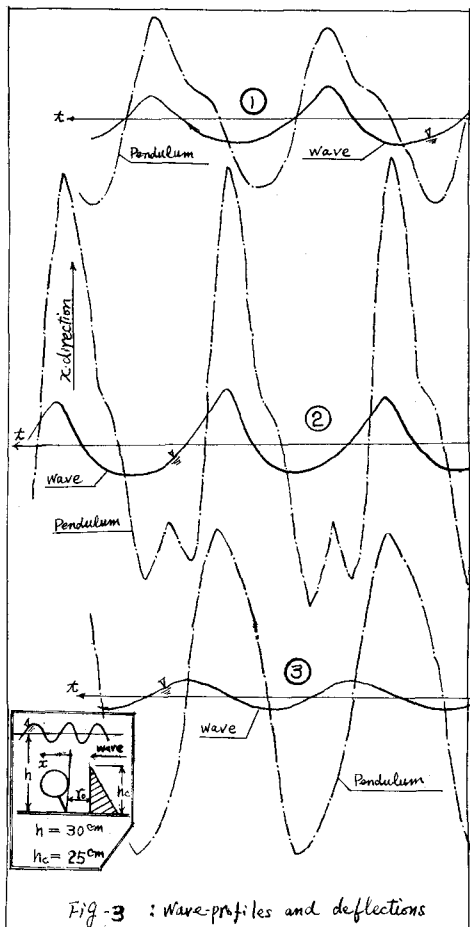


Fig. 3 : Wave-profiles and deflections
in x direction

5. 波高と波の振幅について。

今まで主として波や振子の振動波形について簡単に調べたのであるが、こゝでは波高や波の振幅が場所によつてどのように変るかと調べる。

5.1) 波高について。

このことについて調べたものが図-4である。図によると、潜堤下流側の波は部分重複波の状態になっているようだ。

また図と表-2と比較すると γ_0 の位置によつては透過率が1以上になるものもあるが、このようなことについては、本間、塩川⁶⁾や前田ら⁷⁾も測定している。塩川らによると $\gamma_0/h_0 > 0.7$ になると、内水の水位は急昇すると述べている。また中村ら⁸⁾によると $\frac{h-h_c}{H_0} = 3 \sim 4$ のとき透過率は1以上になると述べているが、これらも問題も含め、潜堤の問題はまだ多くの未解決の点があるようだ。

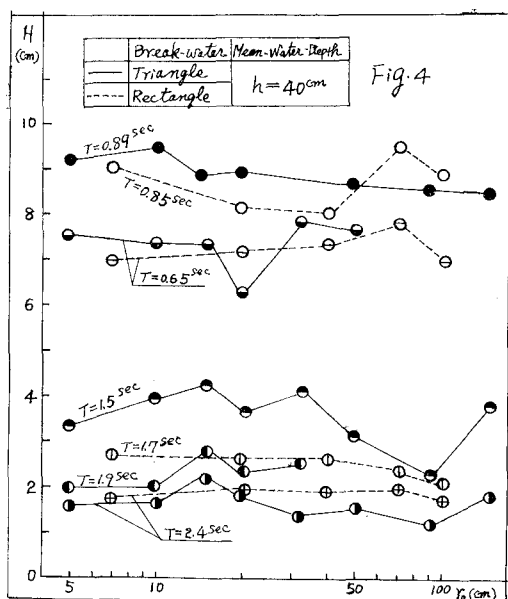


Fig. 4

5.2) 壁の振巾について

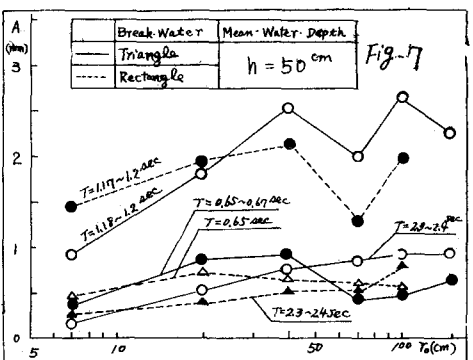
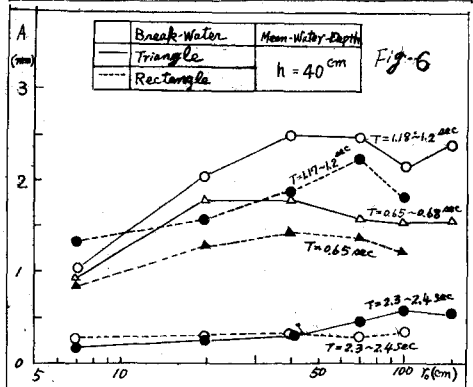
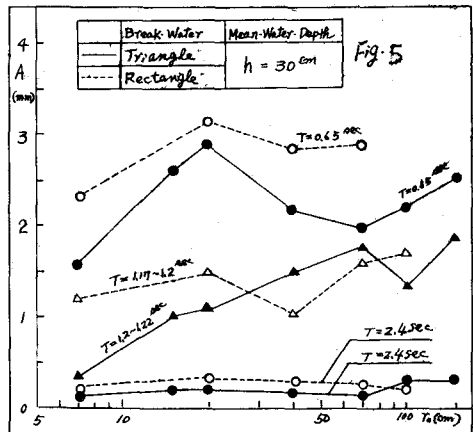
このことについて調べたものが、図5～図7である。図によると堤に充分近いときは振巾は小さいが、或る距離の所で最大の振巾になり、それ以上離れると振動しながら振巾は減少する傾向が見られる。

振巾の最大になる位置は、この図だけでは充分な判断が出来ないか、たゞ周期の大きい程、水深の大きい程堤の近くで発生している。

例えば、周期約0.65秒の時の三角堤の場合、 $h = 30, 40, 50\text{cm}$ に対し振巾が最大と思われる位置は、各々 $70 = 20, 20 \sim 30, 40\text{cm}$ 附近にある。このような現象がなぜあるかと考えると、

- ①. 水面の瞬間的変動が場所で異なる。
- ②. 堤天端から渦が発生する。
- ③. 越波による特殊な衝撃

などがその原因として考えられるが、充分に判断するまでは到らなかった。



6. 結び

以上の事から次のことが判断される。

- a) 潜堤下流側におかれに振子は潜堤から或る距離の所で最大の振巾になる。
- b) 波高 damping の効果は大きい場所でも振子の振巾は非常に大きくなる事がある。